



## Thermal Analysis and Exergy of Linear Fresnel Reflectors for Feasibility of Use in Greenhouse Heating System

S. Noroozi<sup>1</sup>, A. Maleki<sup>2\*</sup>, Sh. Besharati<sup>3</sup>

1- M.Sc. Student of Mechanical Engineering of Biosystems Department, Faculty of Agriculture, Shahrekord University, Shahrekord, Iran

2- Associate Professor of Mechanical Engineering of Biosystems Department, Faculty of Agriculture, Shahrekord University, Shahrekord, Iran

3- Lecture of Mechanical Engineering of Biosystems Department, Faculty of Agriculture, Shahrekord University, Shahrekord, Iran

(\*- Corresponding Author Email: [maleki@sku.ac.ir](mailto:maleki@sku.ac.ir))

<https://doi.org/10.22067/jam.2021.72345.1060>

Received: 05 September 2021

Revised: 07 November 2021

Accepted: 15 November 2021

Available Online: 15 November 2021

### How to cite this article:

Noroozi, S., Maleki, A., & Besharati, Sh. (2023). Thermal Analysis and Exergy of Linear Fresnel Reflectors for Feasibility of Use in Greenhouse Heating System. *Journal of Agricultural Machinery*, 13(2), 147-162. (in Persian with English abstract). <https://doi.org/10.22067/jam.2021.72345.1060>

### Introduction

Solar energy is one of the most important sources of renewable energy, and it is used to address problems related to energy needs, including increasing fossil fuels, rising energy transportation costs, higher energy demand worldwide, and greenhouse gas emissions. Solar collectors harness the sun's thermal energy to convert it into useful and usable energy. Solar collectors are divided into several types, including parabolic trough collectors (PTCs), linear Fresnel reflectors (LFRs), solar plates, and central towers. Among these, the most common heat generation systems are linear adsorption technologies. In this study, we examine the use of LFR technology for greenhouse heating during the winter in Shahrekord.

### Materials and Methods

Previous studies (Huang *et al.*, 2014) were used for optical analysis. The Daneshyar model was utilized to calculate the amount of solar energy available at a particular location. Mathematical formulas were employed to calculate the instantaneous energy equilibrium, and a heat transfer resistance model was developed to calculate the heat loss of different parts of the collector. To create a model, the total amount of exergy must first be calculated, which can be done by using the Petlla formula given by Bellos *et al.* (2019).

### Results and Discussion

The following results were obtained from this study:

- The proposed mathematical model for calculating solar energy was accurate in terms of daily and instantaneous performance. This model was valid for both clear and cloudy days, making it applicable in a variety of weather conditions.
- The maximum useful heat production of the current system for February was about 2.5 kW, resulting in an increased liquid temperature of 16 degrees Celsius in the heat tank.
- The maximum thermal efficiency of the Fresnel collector during the day was 64%, while the average daily efficiency was 56.4%.
- The most significant parameters that affected the production of useful energy were the position of the sun during the day and the number of cloudy days.
- The system was capable of heating stored water to 98 degrees per day, available for up to 14 hours.
- The system under consideration can be used to produce heat up to 1260 watts for 15 hours without heating the tank. The generated heat can be utilized in the food industry for steam production and industrial desalination of water.
- The decrease in exergy efficiency was due to the reduction in the thermal efficiency of the system and the

increase in the thermal difference between the collector and ambient temperatures. Higher values can be achieved by reducing the heat losses, which is a reason to reduce the exergy efficiency of the system.

### **Conclusion**

This paper investigated the daily performance of a linear Fresnel collector with an 18 square meter mirror field, a parabolic collector, and an insulated storage tank with a volume of 250 liters. The investigation included experimental analysis and theoretical formulation of thermal phenomena under the weather conditions of Shahrekord. The mathematical model developed for this system is based on the energy balance in the collector and storage tank. The results show that this is an efficient greenhouse heating system, with an average thermal efficiency of 56%, which is reasonable and competitive with other similar technologies. Additionally, the cost of construction and maintenance of this system is much lower than that of competitors.

**Keywords:** Concentrated collectors, Heat loss, Reflector, Thermal efficiency

## مقاله پژوهشی

جلد ۱۳، شماره ۲، تابستان ۱۴۰۲، ص ۱۶۲-۱۴۷

## تحلیل حرارتی و اکسرژی متمرکزکننده فرنل خطی به منظور امکان‌سنجی استفاده در سامانه گرمایش گلخانه

سعید نوروزی<sup>۱</sup>، علی ملکی<sup>۲\*</sup>، شاهین بشارتی<sup>۳</sup>

تاریخ دریافت: ۱۴۰۰/۰۶/۱۴

تاریخ پذیرش: ۱۴۰۰/۰۸/۲۴

## چکیده

در سال‌های اخیر افزایش آلودگی هوا، قیمت حامل‌های انرژی و تنش آبی به دلیل تغییرات اقلیم باعث شده تا استفاده از انرژی‌های تجدیدپذیر به‌ویژه انرژی خورشیدی افزایش یابد. جمع‌کننده‌های خورشیدی یکی از منابع مهم جمع‌آوری و تامین انرژی گرمایی هستند. در این راستا بازده و کارایی این کلکتورها و اقدامات لازم برای افزایش این عامل‌ها از اهمیت خاصی برخوردار است. لذا در این پژوهش عملکرد روزانه یک بازتابنده فرنل خطی جهت استفاده در سیستم گرمایش یک گلخانه در بهمن ماه در شرایط آب و هوایی شهرکرد به‌صورت عددی بررسی خواهد شد. این سامانه دارای یک گیرنده صفحه تخت با ۱۸ مترمربع میدان آینه بوده و به یک مخزن ذخیره‌سازی با حجم ۲۵۰ لیتر متصل شده است. علاوه بر این، بر اساس تعادل انرژی در جمع‌کننده و مخزن ذخیره‌سازی، یک مدل ریاضی برای پیش‌بینی عملکرد روزانه سامانه مورد نظر تهیه شد. تحلیل‌ها نشان داد که بیشینه بازده حرارتی سامانه برابر با ۶۴ درصد و حداکثر تولید حرارت مفید ۵/۱ کیلووات است که توانایی گرمایش محیط گلخانه را در طول شب در ماه بهمن را دارد. همچنین از نتایج این پژوهش می‌توان برای ارزیابی سامانه‌های متمرکز خورشیدی و به‌ویژه بازتابنده‌های فرنل خطی استفاده کرد.

واژه‌های کلیدی: بازتابنده، بازده حرارتی، تلفات حرارتی، متمرکزکننده‌های متمرکز

## مقدمه

نشان‌دهنده اهمیت اصلاح مصرف انرژی در این بخش است همچنین میزان انتشار گازهای گلخانه‌ای در کشورهای در حال توسعه رو به افزایش است این در حالی است که در جوامع توسعه‌یافته این مقدار رو به کاهش است (Jovanović, Kaščelan, Despotović, & Kaščelan, 2015).

رشد و توسعه کشاورزی نوین استفاده از ادوات و ماشین‌آلات مدرن، استفاده از بسترهای کشت مصنوعی و گلخانه‌ای در این صنعت موجب ایجاد ارتباط مستقیم بین رشد کشاورزی و انتشار آلودگی شده است و باید در جهت کاهش ایجاد آلودگی بخش کشاورزی راه‌حلی‌هایی ارائه شود (Babu, Raj, & Arasu, 2019).

بررسی‌های انجام شده بر روی مصرف انرژی کشت گلخانه‌ای نشان می‌دهد که بیشترین هزینه تولید گلخانه‌ای مربوط به گرمایش گلخانه است. بستگی به نوع سامانه گرمایشی می‌تواند تا ۴۰ درصد هزینه‌ی نهایی محصول را شامل شود (Baudoin et al., 2013). همچنین در کشوری مانند ترکیه این مقدار بیشتر و برابر با ۶۰ تا ۸۰ درصد هزینه‌های تولید نهایی محصول را شامل می‌شود (Ozgener & Hepbasli, 2006). برخی تحقیقات نشان می‌دهد که بیش از ۹۰

کشاورزی یکی از پردرآمدترین و در عین حال پرمصرف‌ترین بخش تولیدی در کشور می‌باشد. تحقیقات نشان می‌دهد افزایش بهره‌وری در کشاورزی با افزایش مصرف انرژی همراه است به‌طوری که در ۵۰ سال گذشته تولید گازهای گلخانه‌ای در این بخش دو برابر شده است (Smith et al., 2014). طبق مطالعات صورت‌گرفته، بخش کشاورزی بیش از ده درصد از گازهای گلخانه‌ای جهان را تولید می‌کند اگر سهم منابع طبیعی را نیز به حساب بیاوریم این مقدار به حدود ۳۰ درصد خواهد رسید (Smith et al., 2008) که خود

۱- دانشجوی کارشناسی ارشد، گروه مهندسی مکانیک بیوسیستم، دانشکده کشاورزی، دانشگاه شهرکرد، شهرکرد، ایران  
۲- دانشیار، گروه مهندسی مکانیک بیوسیستم، دانشکده کشاورزی، دانشگاه شهرکرد، شهرکرد، ایران  
۳- مربی، گروه مهندسی مکانیک بیوسیستم، دانشکده کشاورزی، دانشگاه شهرکرد، شهرکرد، ایران  
(\* نویسنده مسئول: Email: maleki@sku.ac.ir  
<https://doi.org/10.22067/jam.2021.72345.1060>

این بازدهی کم را طراحی بازتابنده ثانویه و تلفات نوری دانستند (Mokhtar, Boussad, & Noureddine, 2016). در یکی دیگر از مطالعات متمرکزکننده فرنل که با بازتابنده ثانویه ذوزنقه‌ای بررسی شده بود، حداکثر بازده نوری پیکربندی پیشنهادی نزدیک به ۷۵٪ بود که یک مقدار مناسب قابل رقابت با انواع سهموی است (Huang et al., 2014). بازتابنده ثانویه با شکل سهموی، کارآمدتر از بازتاب مربوطه با هندسه ذوزنقه است (Loni, Kasaeian, Asli, & Ardeh, 2016). در تحقیقی دیگری که نوع فرنل با بازتابنده ثانویه سهموی با نمک مذاب کار می‌کرد حداکثر بازده سامانه برابر با ۶۵٪ گزارش شد (Qiu, He, Cheng, & Wang, 2015). به‌منظور حداکثر رساندن بازدهی نوری بازتابنده فرنل خطی همراه با سامانه ردیابی خورشیدی طرح‌های مختلفی برای این سامانه در نظر گرفته شده است در یکی از مطالعات سامانه طراحی شده دارای دقت  $\pm 0.06$  و افزایش ۱۶/۶۴ درصدی انرژی در انرژی تولیدی است (Barbón et al., 2021). در جدیدترین مطالعات صورت گرفته استفاده از نانو سیال‌ها به‌عنوان سیال انتقال حرارت مورد بررسی قرار گرفته است. نتایج نشان می‌دهد که باعث افزایش بازدهی حرارتی این سیستم‌ها می‌شود (Said et al., 2021; Wang et al., 2020). کاربرد سامانه فرنل خطی تنها به تولید انرژی حرارتی مفید نبوده و کاربرد آن در طراحی سیستم‌های فتوولتائیک متمرکز نیز بررسی شده است این سیستم‌ها به‌دلیل دارا بودن چگالی نوری بیشتر بازدهی نوری بالاتر را ارائه می‌دهند (Boito & Grena, 2021).

مشکلات زیست‌محیطی استفاده از سوخت‌های فسیلی و چالش‌های کشت گلخانه در فصل‌های خارج از کشت که معمولاً با بیشینه‌ی مصرف انرژی کشور همراه است، استفاده از یک سامانه گرمایش خورشیدی با مزایایی مانند ثبات قیمت و تولید انرژی مورد اهمیت است زیرا انرژی تولیدی رایگان و همیشگی است. با توجه تحقیقات انجام شده امکان‌سنجی به‌کارگیری سامانه متمرکزکننده فرنل خطی برای گرمایش گلخانه، از اهمیت خاصی برخوردار است. لذا با توجه به شرایط آب و هوایی فصل زمستان شهرکرد، یک مدل ریاضی برای پیش‌بینی عملکرد روزانه سامانه ایجاد شده، معادلات تحلیلی در مورد عملکرد سامانه به‌منظور معرفی یک مدل ریاضی از سامانه‌های متمرکزکننده فرنل یکپارچه پیشنهاد می‌شود. می‌توان بیان نمود که هدف این کار ارائه یک تحلیل نظری جامع، برای تعیین عملکرد روزانه یک متمرکزکننده فرنل خطی و امکان‌سنجی استفاده از این سیستم برای گرمایش گلخانه به‌منظور کاهش هزینه‌های تولید و رفع موانع کشت گلخانه‌ای در ماه‌های سرد سال است.

## مواد و روش‌ها

با توجه به ضرورت بررسی سامانه گرمایش گلخانه با استفاده از

درصد هزینه‌های تولید گلخانه‌ای مربوط به هزینه گرمایش است (Sherafati, 2009). کمینه دمای کمتر از ۱۲ درجه سلسیوس اثرات بدی بر عملکرد و کیفیت بیشتر محصولات کشاورزی دارد (Hassan, 2005). انرژی خورشیدی یکی از مهم‌ترین منابع انرژی تجدیدپذیر است و بهره‌برداری از آن برای مقابله با مشکلات امروزه انرژی مانند افزایش مصرف سوخت فسیلی، افزایش قیمت برق، تقاضای بالای انرژی در سراسر جهان و انتشار گازهای گلخانه‌ای پاسخ مناسبی است (Balaji, Reddy, & Sundararajan, 2016). در پژوهشی عملکرد سامانه گرمایش تجدیدپذیر برای گلخانه با استفاده از پنل‌های فتوولتائیک برای تولید برق و ذخیره‌ی آن به‌منظور راه‌اندازی پمپ زمین گرمایی در طول شب بررسی گردید (Anifantis, Colantoni, & Pascuzzi, 2017). همچنین گروهی دیگر از پژوهشگران توانایی یک مدل سامانه‌ی متمرکزکننده حرارتی خورشیدی آبی برای گرمایش گلخانه را مورد بررسی قرار دادند. آن‌ها گزارش کردند که سامانه‌ی پیشنهادی هزینه‌های گرمایش گلخانه را تا ۸۱/۵ درصد کاهش می‌دهد (Attar & Farhat, 2015). این مقدار نشان‌دهنده اهمیت استفاده از متمرکزکننده‌های خورشیدی در سامانه‌های گرمایشی است. گرمایش خورشیدی خود به دو نوع متمرکز و غیرمتمرکز مانند متمرکزکننده‌های صفحه تخت تقسیم می‌شوند.

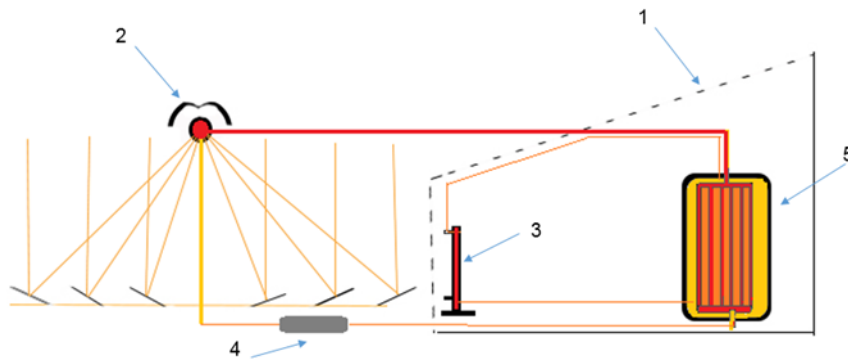
متمرکزکننده‌های متمرکز به انواع سهموی (PTC)، بازتابنده فرنل خطی (LFR)، بشقاب خورشیدی و برج خورشیدی تقسیم می‌شود. در میان آن‌ها، متداول‌ترین سامانه‌های تولید گرما فناوری‌های جاذب خطی هستند، مانند انواع سهموی و متمرکزکننده فرنل که عملکرد تقریباً یکسانی دارند (Xu et al., 2014). در صورت ثابت نگه داشتن ناحیه جاذب، افزایش نسبت تراکم متمرکزکننده فرنل با افزودن بازتابنده‌های اضافی روی زمین قابل حل خواهد بود (Nixon, Dey, & Davies, 2013). بسیاری از مطالعات با تنظیم متغیرهای مختلف بهینه‌سازی از جمله عرض میدان، فاصله کانونی و فاصله آینه‌ها، بهینه‌سازی متمرکزکننده فرنل را مورد بررسی قرار دادند (Bellos et al., 2019). در مطالعاتی متمرکزکننده فرنل را با ردیابی آزیموت مورد بررسی قرار دادند و آن‌ها ۶۱٪ میانگین عملکرد بازده حرارتی را با سطح دمای مایع نزدیک به ۴۰۰ درجه سلسیوس به‌دست آوردند (Huang, Li, & Huang, 2014).

در طرح‌های بازتابنده ثانویه می‌توان به دو نوع اصلی ذوزنقه‌ای و سهموی اشاره کرد. در یکی از مطالعات به‌طور آزمایشی متمرکزکننده فرنل ذوزنقه‌ای بدون پوشش بررسی شد و بازده حرارتی نسبتاً کم ۳۰ درصد و دمای آب نزدیک به ۷۰ درجه سلسیوس به‌دست آمد. دلیل

- 1- Parabolic trough collector
- 2- Linear fresnel reflector

کامل نیاز حرارتی آن است. برای ارزیابی سامانه‌ی گرمایش طراحی شده، از گلخانه با ساختار یک طرفه به طول ۵ متر، عرض ۲/۱۶ متر با ارتفاع قسمت جلو گلخانه ۱/۵ متر و قسمت عقب ۲/۷۵ متر استفاده می‌شود. در مورد ساختار گلخانه از قوطی‌های آهنی با سطح مقطع ۴×۴ سانتی‌متر و سطح بیرونی آن پوشیده شده از ورق‌های پلی‌کربنات شفاف با ضخامت ۱۰ میلی‌متر ساخته شده (Jafari et al., 2017). به‌منظور استفاده از انرژی حرارتی خورشیدی از یک بازتابنده فرنل خطی همراه با یک مخزن ذخیره‌سازی حرارتی استفاده شده است. سامانه گرمایشی طوری طراحی شده است تا حرارت تولیدی متمرکزکننده در مخزن، ذخیره و مبدل حرارتی وظیفه انتقال حرارت به محیط گلخانه را دارد (شکل ۱).

جمع‌کننده‌های فرنل خطی، گلخانه‌ای با ابعاد و نیاز حرارتی مشخص در نظر گرفته شد. بر اساس نیاز حرارتی گلخانه، نیاز حرارتی ۱۹۶۰ وات در کمینه دمای منفی ۲۰ درجه سلسیوس است (Jafari, Mortezapour, Jafari Naeimi, & Maharlooei, 2017). سامانه متمرکزکننده فرنل خطی طوری طراحی شده است که (این طرح، شامل تعدادی بازتابنده‌های اولیه و نوع بازتابنده ثانویه) برای دستیابی به چگالی نوری مناسب و تامین بخشی از نیاز حرارتی در طول شب فراهم کند. برای محاسبه چگالی نوری مناسب ابتدا باید طرح کلی سیستم را از نظر بازدهی نوری سنجید سپس بر اساس بازدهی حرارتی می‌توان میدان آینه‌های اولیه را مشخص نمود. همچنین این سامانه دارای یک مخزن ذخیره حرارتی برای تامین نیاز حرارتی گلخانه در شب و یک المنت حرارتی کمکی برای جبران



شکل ۱- نمای کلی یک سامانه گرمایشی فرنل خطی نصب‌شده در گلخانه: ۱- گلخانه، ۲- متمرکزکننده خطی فرنل، ۳- مبدل حرارتی، ۴- پمپ، ۵- مخزن

Fig.1. Overview of a linear Fresnel heating system installed in the greenhouse: 1-Greenhouse, 2- Fresnel linear concentrator, 3- Heat exchanger, 4- Pump, 5- Tank

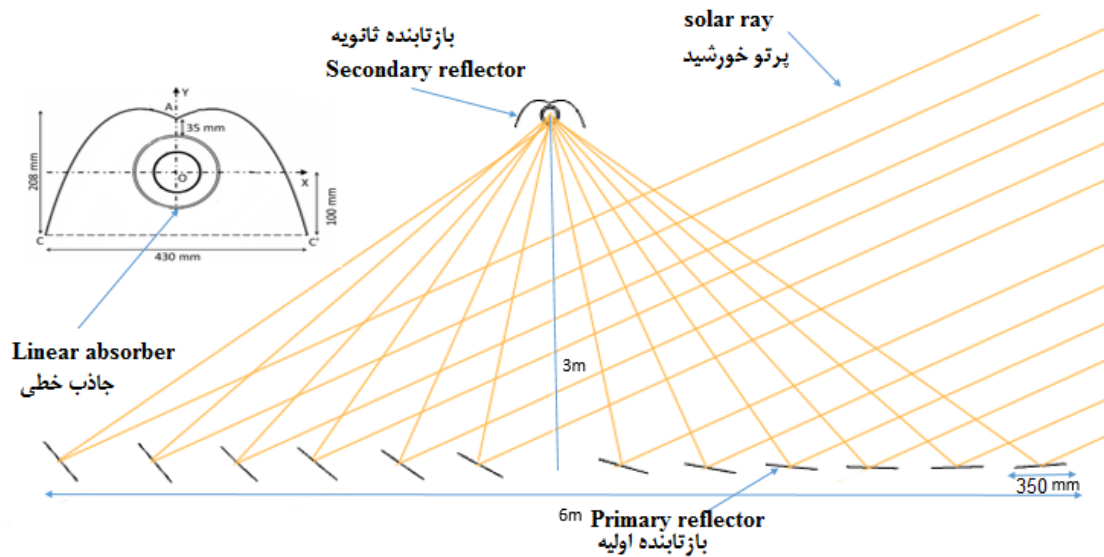
### محاسبه‌ی انرژی جذب خورشیدی

عوامل متعددی در میزان تابش خورشیدی در هر منطقه موثر است مثل طول و عرض جغرافیایی، ارتفاع از سطح دریا، میزان آلودگی، گرد و غبار، عوامل هواشناسی مانند رطوبت و مقدار ابر و غیره. اکثر مدل‌های پیش‌بینی نیز بر اساس این اطلاعات پایه‌گذاری شده‌اند علاوه بر شرایط آب و هوایی، وضعیت اقتصادی نیز باید مورد توجه قرار گیرد. می‌توان از مدل دانشیار برای محاسبه‌ی مقدار انرژی نوری خورشید استفاده کرد.

### پارامترها و زوایه‌های خورشیدی

برای محاسبه مقدار تابش خورشیدی رسیده به سطح زمین احتیاج به تعریف پارامتر و زوایه‌های خورشیدی است که در موارد زیر اشاره شده است (Ebrahimpour, Maaref, & Nairi, 2009).

بازتابنده فرنل خطی مورد بررسی در شکل ۲ نشان داده شده است. این متمرکزکننده دارای یک گیرنده با جذب خطی است. جذب با استفاده از مواد عایق شفاف، عایق‌بندی شده است. جهت‌گیری جمع‌کننده جنوب-شمال (زاویه آزیموت صفر) است. محاسبات و ارزیابی نظری متمرکزکننده فرنل برای شرایط آب و هوایی شهرکرد (مدار ۲۳ تا ۳۲ درجه عرض جغرافیایی) در ماه بهمن انجام شد. همچنین جهت افزایش بازدهی سامانه یک سامانه ردیابی خودکار برای حرکت بازتابنده‌ها در نظر گرفته شده است. سرعت باد ثابت و به مقدار ۳ متر بر ثانیه در نظر گرفته شده و از تلفات حرارتی در مسیر حرکت سیال خارج از جذب صرف‌نظر شده است. مایع کار در متمرکزکننده آب و سطح دمای بررسی شده تقریباً تا ۱۰۰ درجه سانتی‌گراد (سامانه آنتالپی کم) است.



شکل ۲- قسمت‌های مختلف یک سامانه بازتابنده فرنل خطی  
Fig.2. Different parts of a linear Fresnel reflector system

می‌شود.

$$\cos \theta_z = \sin \delta \cdot \sin \phi + \cos \delta \cdot \cos \phi \cos \omega \quad (6)$$

در رابطه‌ی (۶)، مقدار  $\phi$  برابر با عرض جغرافیایی محل می‌باشد.

#### بازده نوری $\eta_{opt}$

بازده نوری به وسیله‌ی پارامترهای زیر مانند ضریب جذب گیرنده ( $\alpha$ )، ضریب بازتاب آینه‌ها ( $\rho$ )، ضریب انتقال پوشش ( $\tau$ ) و عامل رهگیری ( $\gamma$ ) محاسبه می‌شود. علاوه بر این، برای در نظر گرفتن تغییر بازده نوری برای موقعیت‌های مختلف خورشید، از یک پارامتر اضافی، اصلاح‌کننده زاویه بازتاب خورشید ( $K$ ) استفاده می‌شود. بنابراین، می‌توان نوشت:

$$\eta_{opt} = \alpha \cdot \tau \cdot \rho \cdot \gamma \cdot k \quad (7)$$

عامل رهگیری  $\gamma$  به عنوان کسری از تابش منعکس شده در جاذب به کل تابش منعکس شده تعریف می‌شود و برابر با  $0.95$  انتخاب می‌شود.

#### مشخصات سامانه گرمایشی فرنل خطی

نوع سامانه گرمایش خورشیدی متمرکزکننده فرنل خطی است که شامل ردیف‌های آینه به طول ۳ متر و عرض  $0.35$  است. طول جاذب  $3/5$  متر کمی بیشتر از طول آینه‌های اولیه در نظر گرفته می‌شود (به دلیل تابش مایل خورشید و افزایش بازدهی نوری). تعداد ردیف آینه‌ها بر اساس نیاز حرارتی قابل تغییر خواهد بود با توجه به نیاز حرارتی شبانه گلخانه به مخزن با حجم  $250$  لیتر آب نزدیک  $100$  درجه

زاویه انحراف  $\delta$ : زاویه بین پرتوهای خورشید و خط استوا است

و از رابطه (۱) بر حسب درجه محاسبه می‌شود.

$$\delta = 23.45 * \sin \left[ \frac{360}{365} * (284 + N) \right] \quad (1)$$

در رابطه (۱) مقدار  $N$  برابر با شماره روز بر مبنای اول ماه میلادی است.

زاویه ساعت  $\omega$ : برای محاسبه زاویه ساعت می‌توان از رابطه

(۲) استفاده کرد.

$$\omega = 15 \left( h - 12.5 + \frac{E_t}{60} + \frac{L}{15} - T_z \right) \quad (2)$$

معادله زمان  $E_t$  از رابطه (۳) محاسب می‌شود.

$$E_t = 229.18 \left( 0.000075 + 0.001868 \cos \delta - 0.032077 \sin \delta - 0.014615 \cos 2\delta - 0.040849 \sin 2\delta \right) \quad (3)$$

اختلاف ساعت زمانی منطقه‌ای از رابطه (۴) قابل محاسبه است.

$$T_z = (L + 7.5) / 15 \quad (4)$$

در رابطه (۴)  $L$  برابر با طول جغرافیایی محل می‌باشد.

مدل دانشیار: این مدل بر اساس روابط تجربی برای تخمین

میزان تابش خورشیدی در ۳۴ شهر ایران به‌دست آمده است. بر این اساس مقدار تابش کل بر سطح افق از رابطه (۵) محاسبه می‌شود.

$$Q_s = 1.432 + 2.107(90 - \theta_z) + 121.3CF + 950[1 - \exp(-0.75(90 - \theta_z))] (1 - CF) \cos \theta_z \quad (5)$$

مقدار انرژی به‌دست آمده بر حسب ( $Wm^{-2}$ ) خواهد بود. در این

رابطه  $CF$  ضریب ابر است که از رابطه‌ی تقریبی  $CF = 1 - \frac{\bar{n}}{N}$  که

مقدار  $\frac{\bar{n}}{N}$  برابر با مقدار ساعات آفتابی روز به کل ساعات روز می‌باشد.

مقدار  $\theta_z$  زاویه سمت راس خورشید می‌باشد که از رابطه (۶) محاسبه



همچنین ضریب حذف گرما (FR) از رابطه (۱۲) به دست آمده است (Kalogirou, 2012).

$$F_R = \frac{m_c \cdot c_p}{A_r \cdot U_L} \left[ 1 - \exp\left(\frac{A_r \cdot U_L \cdot \dot{F}}{m_c \cdot c_p}\right) \right] \quad (12)$$

$\dot{F}$  ضریب کارایی کلکتور از رابطه‌ی (۱۳) محاسبه می‌شود (Duffie, Beckman, & Blair, 2020).

$$\dot{F} = \frac{1/U_L}{1/U_L + \frac{D_{ro}}{h_{fi} \cdot D_{ri}} + \frac{D_{ro}}{2k_m} \left[ \ln\left(\frac{D_{ro}}{D_{ri}}\right) \right]} \quad (13)$$

در این رابطه، مقادیر  $D_{ro}$  و  $D_{ri}$  قطر خارجی و داخلی جاذب،  $h_{fi}$  و  $k_m$  ضرایب انتقال حرارت مایع و جاذب هستند. میانگین دما در گیرنده از رابطه‌ی (۱۴) به دست می‌آید (Belessiotis, Mathioulakis, & Papanicolaou, 2010).

$$T_r = T_i + \frac{Q_u}{A_r \cdot U_L \cdot F_R} (1 - F_R) \quad (14)$$

### تعدادهای آنی انرژی

ترازهای اساسی انرژی سامانه در زیر آورده شده است. تعادل انرژی در جاذب را می‌توان با استفاده از رابطه‌ی (۱۵) تعیین کرد (Duffie, Beckman, & Blair, 2020).

$$Q_u + (Mc)_c \frac{dT_f}{dt} = Q_{abs} - (UA)_c (T_f - T_{am}) \quad (15)$$

مقدار  $Q_{abs}$  کل انرژی خورشیدی رسیده به متمرکزکننده،  $(Mc)_c$  ظرفیت حرارتی جاذب متمرکزکننده،  $(UA)_c$  ضریب اتلاف حرارتی جاذب متمرکزکننده است. تعادل انرژی در مبدل حرارتی مخزن ذخیره را می‌توان به صورت رابطه‌ی (۱۶) نوشت (Belessiotis et al., 2010):

$$Q_u = (UA)_{ex} (T_f - T_{st}) \quad (16)$$

$(UA)_{ex}$  ضریب انتقال حرارت کلی در مبدل حرارتی و  $T_{st}$  برابر با دمای مخزن حرارتی است. تعادل انرژی در مخزن ذخیره‌سازی در رابطه (۱۷) به دست آمده است (Belessiotis et al., 2010).

$$(Mc)_{st} \frac{dT_{st}}{dt} = Q_u - (UA)_{st} (T_{st} - T_{am}) \quad (17)$$

$(Mc)_{st}$  ظرفیت حرارتی مایع مخزن،  $(UA)_{st}$  ضریب انتقال حرارت کلی در مخزن ذخیره‌سازی است و دمای مخزن ذخیره‌ساز در طول شبانه‌روز به دلیل تقریباً خطی بودن تغییرات درجه حرارت می‌توان از رابطه (۱۸) محاسبه کرد.

$$T_{st-N} = T_{st} + \frac{\Delta t}{(Mc)_{st}} [Q_u - Q_l - (UA)_{st} (T_{st} - T_{am})] \quad (18)$$

بیان این نکته مهم است که از میانگین دما ( $T_f$ ) در معادلات قبلی استفاده شده است. این سطح دما را می‌توان به عنوان میانگین مقدار دمای ورودی و خروجی برآورد کرد میزان انرژی مفید از رابطه

سلسیوس نیاز است. با توجه به میزان تابش خورشیدی شهر شهرکرد بدون در نظر گرفتن بازدهی نوری و حرارتی سامانه تعداد ۱۲ ردیف آینه توانایی گرمایش این مقدار آب را تا دمای ۹۷ درجه دارند. تلفات محاسبه و با استفاده از المنت حرارتی یا افزایش ردیف‌های آینه پاسخ داده می‌شود. نوع بازتابنده آینه یا آلومینیوم آنودایز شده است. قاب کلکتور از فولاد گالوانیزه ساخته می‌شود. وزن تخمینی سازه کمتر از ۵۰۰ کیلوگرم و عمر مفید سامانه بیش از ۲۰ سال تخمین زده شده است (Tagle, Agraz, & Rivera, 2016).

مساحت موثر آینه‌های اولیه (Aa) بر حسب ( $m^2$ ) با استفاده از رابطه‌ی (۸) محاسبه می‌شود. این پارامتر با فرض این‌که آینه‌های اولیه در جهت افقی هستند مساحت موثر بازتابنده‌های اولیه را برآورد می‌کند (Sharma, Nayak, & Kedare, 2015).

$$A_a = N_{rf} \cdot W_0 \cdot L \quad (8)$$

مقادیر  $N_{rf}$  تعداد ردیف‌های آینه‌ها،  $W_0$  برابر با عرض آینه‌ها و  $L$  طول آینه‌ها بر حسب (m) است. پرتو مستقیم خورشیدی موجود ( $Q_s$ ) بر حسب (W) از رابطه (۹) محاسبه شده است که در آن مقدار DNI برابر با نرخ تابش مستقیم نرمال بر حسب ( $Wm^{-2}$ ) است.

$$Q_s = A_a \cdot DNI \quad (9)$$

تولید گرمای مفید توسط سامانه (Qu) با استفاده از تعادل انرژی در حجم سیال (رابطه ۱۰) بر حسب وات محاسبه شد (Bellos et al., 2016).

$$Q_U = \dot{m} \cdot c_p \cdot (T_{out} - T_{in}) = G_b \cdot \eta_o \cdot A_a - A_r \cdot U_L \cdot (T_r - T_{am}) \quad (10)$$

مقدار  $\dot{m}$  برابر با جرم آب بر حسب کیلوگرم بر ثانیه است.  $c_p$  برابر با ظرفیت گرمایی ویژه،  $T_{in}$  و  $T_{out}$  به ترتیب دمای ورودی و خروجی متمرکزکننده است.  $G_b$  برابر با تابش نرمال خورشیدی در محل (W)،  $A_r$  برابر با مساحت جاذب ( $m^2$ )،  $U_L$  برابر با ضریب اتلاف حرارتی جاذب ( $Wm^{-2}K^{-1}$ ) مقادیر  $T_r$  و  $T_{am}$  برابر با دمای محیط و دمای جاذب بر حسب (C) است.

### بازده حرارتی

بازده حرارتی ( $\eta_{th}$ ) در متمرکزکننده خطی فرنل به عنوان نسبت گرمای مفید به انرژی خورشیدی موجود تعریف می‌شود که در آن  $A_a$  مساحت متمرکزکننده فرنل و DNI شدت تابش خورشیدی هستند. با به دست آوردن راندمان نوری بازتاب‌کننده فرنل خطی می‌توان عملکرد نوری آن را (رابطه ۱۱) تحلیل کرد (Kalogirou, 2012).

$$\eta_{th} = \frac{Q_u}{Q_s} = \frac{Q_{LFR}}{A_a \cdot DNI} \quad (11)$$

تعیین کرد.

**مدل محاسباتی مدل UA**

مدل محاسباتی مبتنی بر مدل انتقال حرارت با مقاومت حرارتی حالت پایدار یک‌بعدی است، که در آن تمام حالت‌های انتقال حرارت مربوط به پدیده‌های فیزیکی در نظر گرفته می‌شوند. مدل محاسباتی برای اولین بار توسط (فوربستال) ساخته شد و برای تعیین بازده حرارتی متمرکزکننده‌های خورشیدی سهموی استفاده شد (Forristall, 2003). این مدل می‌تواند رفتار هر متمرکزکننده سهموی را تحت هر شرایط محیطی و با انواع پارامترهای کاری پیش‌بینی کند. هر یک از قسمت‌های سامانه متمرکزکننده فرنل مورد بررسی در جدول ۱، شماره‌گذاری و با توجه به شکل ۳ مرزهای حرارتی تعیین می‌شود.

(۱۹) به‌دست می‌آید (Bellos et al., 2019).

$$Q_U = \frac{A_a \cdot \eta_{opt} \cdot G_b}{P_1} - \left[ \frac{P_0}{P_1} - (UA)_{st} \right] \cdot (T_{st} - T_{am}) \quad (19)$$

مقدار  $A_a$  برابر با مساحت متمرکزکننده ( $m^2$ )،  $\eta_{opt}$  برابر با بازده نوری،  $G_b$  برابر با تابش رسیده به زمین ( $Wm^{-2}$ ) است. پارامترهای  $(p_2$  و  $p_1, p_0$ ) به‌صورت روابط (۲۰) تا (۲۲) محاسبه می‌شود (Bellos et al., 2019):

$$p_0 = (UA)_{st} + (UA)_c + \frac{(UA)_c (UA)_{st}}{(UA)_{ex}} \quad (20)$$

$$p_1 = 1 + \frac{(MC)_c}{(MC)_{st}} \cdot \left( 1 + \frac{(UA)_{st}}{(UA)_{ex}} \right) + \frac{(UA)_c}{(UA)_{ex}} \quad (21)$$

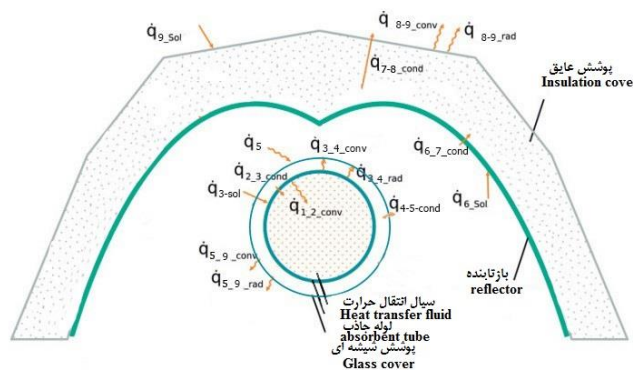
$$p_2 = (MC)_c \cdot (MC)_{st} / (UA)_{ex} \quad (22)$$

یکی از پارامتری که در رابطه (۲۲) محاسبه نشده است ضریب انتقال حرارتی  $UA$  است. این پارامتر را می‌توان با مدل‌سازی زیر

**جدول ۱- تعیین مرزهای حرارتی با توجه به شکل ۳**

**Table 1-** Determining thermal boundaries according to Figure 3

شماره Number	سطح Surface	شماره Number	سطح Surface
1	سیال انتقال حرارت Heat transfer fluid	6	آینه ثانویه secondary mirror surface
2	سطح جاذب داخلی Internal absorbent surface	7	سطح پوشش عایق داخلی Internal insulation coating surface
3	سطح جاذب خارجی External absorbent surface	8	سطح پوشش عایق بیرونی Exterior insulation coating surface
4	سطح پوشش داخلی Interior coating surface	9	زمین یا هوا Earth or air
5	سطح پوشش خارجی Exterior coating surface		



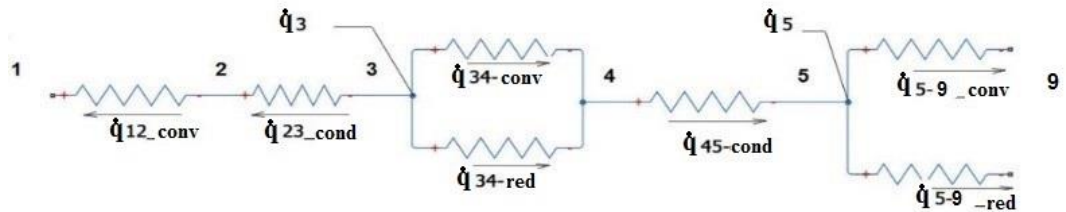
**شکل ۳-** نمای برش عرضی متمرکزکننده فرنل، شرایط شار حرارتی در نظر گرفته شده بین اجزای مختلف گیرنده فرنل خطی

**Fig.3.** Cross-sectional view of Fresnel collector, the heat flux conditions considered between the different components of the linear Fresnel receiver



انتقال گرما از طریق هدایت، همرفت و تابش و همچنین تابش خورشیدی جذب شده از نظر مدل مقاومت حرارتی اعمال شده است (شکل ۳). اثرات شار گرمایی رسانش، همرفت و تابش توسط معادلات فیزیکی محاسبه می‌شود. همچنین در طول متمرکزکننده ثانویه توزیع همگن تابش خورشید را داریم. با توجه به نتایج ردیابی پرتو نوری بر کل سامانه و با استفاده بازدهی نوری کلی سامانه محاسبات مربوط به

شار حرارتی خورشیدی قابل اندازه‌گیری است. انتقال گرما به محیط خارجی با ترکیب دمایی محیط و سرعت باد مشخص می‌شود. این مدل برای پیکربندی گیرنده‌ی نشان داده شده در شکل ۳ توسعه یافته است. برای آنالیز حرارتی سامانه از مدل نمایش داده شده در شکل ۴ استفاده شد. مشخصات هندسی سامانه در جدول ۲ آمده است.



شکل ۴- مدل مقاومت حرارتی عبوری از متمرکزکننده فرنل

Fig.4. Thermal resistance diagram passing through the Fresnel collector

جدول ۲- مشخصات هندسی سامانه

Table 2- Geometric specifications of the system

تعریف Definition	پارامتر Parameter	مقدار Amount
قطر داخلی جاذب Absorbent inner diameter- mm	$D_{ri}$	66
قطر خارجی جاذب Absorbent outer diameter- mm	$D_{ro}$	70
قطر داخلی کاور Inner diameter of the cover- mm	$D_{ci}$	109
قطر خارجی جاذب Absorbent outer diameter-mm	$D_{co}$	115
مساحت جاذب Absorbent area- $m^2$	$A_r$	0.66
مساحت پوشش Coverage area- $m^2$	$A_c$	1.08
طول جاذب Absorbent length-m	$L$	3

با توجه به نوع جریان (جریان آشفته) سیال عدد ناسلت از رابطه‌ی (۲۴) به دست می‌آید. ضریب انتقال حرارت بین دیواره جاذب و سیال از رابطه (۲۵) محاسبه شده است (Mokhtar et al., 2016).

$$Nu = \frac{h_{12\_conv} \cdot D_{ri}}{k} = 0.023 Re^{0.8} \cdot Pr^{0.4} \quad (24)$$

$$h_{12\_conv} = \frac{k \cdot Nu}{D_{ri}} \quad (25)$$

مقادیر عدد رینولز و پراتل از رابطه‌های (۲۶) و (۲۷) قابل محاسبه است (Bellos, Tzivanidis, Korres, & Antonopoulos, 2015).

مقدار ضریب اتلاف حرارتی متمرکزکننده از رابطه‌ی (۲۳) محاسبه شده است.

$$(UA)_c = \left[ \frac{1}{\frac{1}{h_{12\_conv} + A_{ri}} + \frac{\ln\left(\frac{r_2}{r_1}\right)}{2k_{cu}\pi L}} + \frac{1}{\frac{1}{(h_{34\_conv} + h_{34\_rad})A_{ro}} + \frac{\ln\left(\frac{r_3}{r_2}\right)}{2k_{glass}\pi L}} + \frac{1}{(h_{5,10\_conv} + h_{5,10\_rad})A_{ro}} \right]^{-1} \quad (23)$$

### مدل‌سازی اکسرژی

برای مدل‌سازی در ابتدا باید مقدار کل اکسرژی را به دست آورد که می‌توان از فرمول پتلا (۳۶) استفاده نمود (Petela, 2003).

$$E_s = Q_s \cdot \left( 1 - \frac{4}{3} \cdot \left[ \frac{T_0}{T_{sun}} \right] + \frac{1}{3} \cdot \left[ \frac{T_0}{T_{sun}} \right]^4 \right) \quad (36)$$

$T_0$  برابر با دمای محیط و  $T_{sun}$  برابر با دمای خورشید است. اکسرژی مفید از رابطه‌ی (۳۷) به دست آمده است (Bellos et al., 2017):

$$E_u = m \cdot c_p \cdot (T_{out} - T_{in}) - m \cdot c_p \cdot T_0 \ln \left[ \frac{T_{out}}{T_{in}} \right] - \frac{T_0 \cdot m \cdot \Delta P}{T_{fm} \cdot \rho_{fm}} \quad (37)$$

رابطه (۳۷) را می‌توان برای مایعات و گازها استفاده کرد. در مایعات، آخرین افت فشار ( $\Delta P$ ) معمولاً کم است و می‌توان از آن صرف‌نظر کرد. همچنین کار با سیالات گازی به دلیل چگالی کم گازها با از دست دادن فشار زیاد همراه است و باید مورد توجه قرار گیرد.

بازده اکسرژی ( $\eta_{ex}$ ) نسبت اکسرژی مفید (Eu) به اکسرژی خورشیدی (Es) است که با روابط (۳۸) و (۳۹) محاسبه شد (Bellos et al., 2018):

$$\eta_{ex} = \frac{E_u}{E_s} = \frac{Q_u \cdot \left( 1 - \frac{T_0}{T} \right)}{Q_s \cdot \left( 1 - \frac{4}{3} \cdot \left[ \frac{T_0}{T_{sun}} \right] + \frac{1}{3} \cdot \left[ \frac{T_0}{T_{sun}} \right]^4 \right)} \quad (38)$$

$$\eta_{ex} = \eta_{th} \cdot \frac{1 - \frac{T_0}{T}}{1 - \frac{4}{3} \cdot \left[ \frac{T_0}{T_{sun}} \right] + \frac{1}{3} \cdot \left[ \frac{T_0}{T_{sun}} \right]^4} \quad (39)$$

### نتایج و بحث

با توجه به رابطه (۷) و نتایج جدول ۳ مقدار بازدهی نوری کل برابر با ۷۰ درصد است. برای محاسبه میزان انرژی خورشیدی شهرکرد به عرض جغرافیایی ۳۲ درجه نیاز به ضریب ابر است. این مقدار برای شهرکرد برابر با ۰/۳ است (Jafarpour & Mahmoud, 2001) مقدار انرژی تابشی خورشید از رابطه (۵) محاسبه شده است. مطابق شکل ۵ بیشترین تابش در ساعت ۱۲ و تابش موثر از ساعت ۷ صبح تا ۱۷ است. لذا با توجه به شرایط انتقال حرارت اشاره شده، مشخصات ترمودینامیکی سامانه در جدول ۲ به دست آمده است.

$$Re = \frac{4 \cdot \dot{m}}{\pi \cdot D_{r1} \cdot \mu} \quad (26)$$

$$Pr = \frac{\mu \cdot c_p}{k} \quad (27)$$

ضرایب انتقال حرارت از رابطه (۲۸) و (۲۹) محاسبه می‌شود (Duffie, Beckman, & Blair, 2020).

$$h_{34,conv} = \left( 3.25 + 0.0085 \frac{T_r - T_c}{4r_2} \right) \frac{A_c}{A_r} \quad (28)$$

$$h_{34,rad} = \frac{\varepsilon \sigma \cdot (T_r^2 + T_c^2) \cdot (T_r + T_c)}{\frac{1}{\varepsilon_r} + \left( \frac{1}{\varepsilon_c} - 1 \right) \cdot \left( \frac{A_r}{A_c} \right)} \quad (29)$$

در روابط بالا  $T_c$  دمای کاور ( $^{\circ}C$ ) و  $T_r$  برابر با دمای جاذب ( $^{\circ}C$ )، مقادیر  $A_r$  و  $A_c$  برابر با مساحت جاذب و کاور شیشه‌ای [ $M^2$ ] می‌باشد.  $\varepsilon$  برابر با ضریب صدور سطح جسم و  $\sigma$  ثابت استفان بولتزمن  $5.6 \cdot 10^{-8} (Wm^{-2}k^{-4})$  است.

$$h_{5,10,conv} = \frac{8.6 \cdot V_{air}^{0.6}}{L^{0.4}} \quad (30)$$

مقدار  $V_{air}$  برابر با سرعت باد در محیط ( $m s^{-1}$ ) و  $L$  برابر با طول متمرکزکننده (m) است.

$$h_{5,10,rad} = \varepsilon \sigma (T_c^2 + T_{am}^2) (T_c + T_{am}) \quad (31)$$

$T_{am}$  برابر با دمای محیط ( $^{\circ}C$ ) است. مقدار  $\varepsilon_r$  از رابطه‌ی (۳۲) به دست می‌آید.

$$\varepsilon_r = 0.05599 + 1.039 \cdot 10^{-4} \cdot T_r + 2.249 \cdot 10^{-7} \cdot T_r^2 \quad (32)$$

### انرژی ذخیره شده روزانه

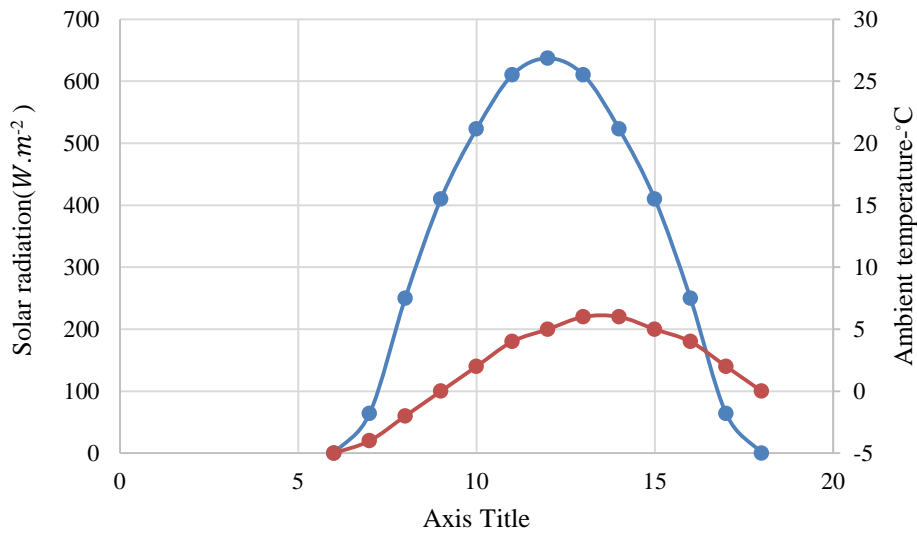
با استفاده از پارامترهای سامانه، تابش مستقیم خورشید ( $H_b$ )، میانگین اصلاح کننده زاویه حادثه روزانه ( $K_{mean}$ )، دمای اولیه مخزن ذخیره‌سازی ( $T_{st0}$ ) و میانگین دمای روزانه محیط، انرژی ذخیره شده روزانه در مخزن را می‌توان به صورت زیر نوشت (Bellos et al., 2019):

$$E_{st} = F_1 \cdot K_{mean} \cdot H_b + F_2 \cdot (T_{am} - T_{st0}) \quad (33)$$

مقادیر  $F_1$  و  $F_2$  از رابطه‌های (۳۴) و (۳۵) به دست می‌آیند. مقدار  $N$  برابر با تعداد ساعات روز است.

$$F_1 = \frac{A_a \cdot \eta_{opt,0}}{P_1 + \frac{P_0 \cdot N}{2(MC)_{st}}} \quad (34)$$

$$F_2 = \frac{P_0 \cdot N}{P_1 + \frac{P_0 \cdot N}{2(MC)_{st}}} \quad (35)$$



شکل ۵- متوسط انرژی خورشیدی شهرکرد در تاریخ ۱۰/۱۵ برحسب ساعت روز

Fig.5. Average chart of Shahrekord solar energy on 1/5 in terms of daylight hours

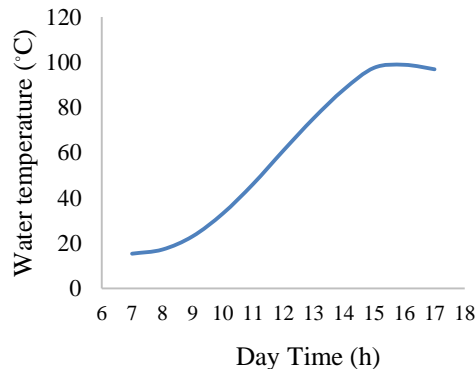
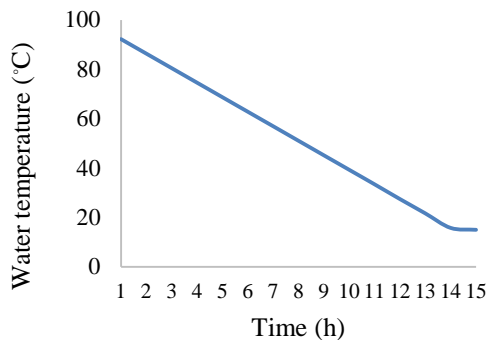
جدول ۳- مشخصات ترمودینامیکی سامانه

Table 3- Thermodynamic characteristics of the system

تعریف Definition	پارامتر Parameter	مقدار Amount
ظرفیت حرارتی مخزن ذخیره سازی Storage tank heat capacity (W)	$(MC)_{st}$	$1050 \cdot 10^3$
ظرفیت حرارتی متمرکزکننده Collector heat capacity (W)	$(MC)_c$	$16.38 \cdot 10^3$
ضریب اتلاف حرارتی مخزن ذخیره سازی Storage tank heat loss coefficient ( $Wk^{-1}$ )	$(UA)_{st}$	2.09
ضریب اتلاف حرارتی متمرکزکننده Collector heat loss coefficient ( $Wk^{-1}$ )	$(UA)_c$	4
ضریب انتقال حرارت کلی در مبدل حرارتی Overall heat transfer coefficient in heat exchanger ( $Wk^{-1}$ )	$(UA)_{ex}$	460
حجم مخزن ذخیره سازی Storage tank volume (kg)	V	250
جرم جریان Flow mass ( $kg s^{-1}$ )	$m_f$	0.7
بازده نوری کل Total optical efficiency	$\eta_{opt}$	70%
جذب گیرنده Receptor absorption	$\alpha$	0.92
انتقال پوشش Cover transfer	$\tau$	0.95
بازتاب آینه Mirror reflection	$\rho_{mir}$	0.94
ضریب اصلاح کننده زاویه بازتاب خورشید Incident angle modifier	k	0.92

## نتایج عملکرد روزانه سامانه

نتایج مربوط به عملکرد روزانه عمدتاً با استفاده از خروجی گرمایی مفید و همچنین سطح دمای مایع بیان می‌شود. در مرحله اول، نتایج



**شکل ۶- عملکرد حرارتی مخزن: گرمایش سیال مخزن به کمک سامانه متمرکزکننده فرنل (راست)، سرمایش سیال به منظور ایجاد حرارت شبانه مورد نیاز در گلخانه (چپ)**

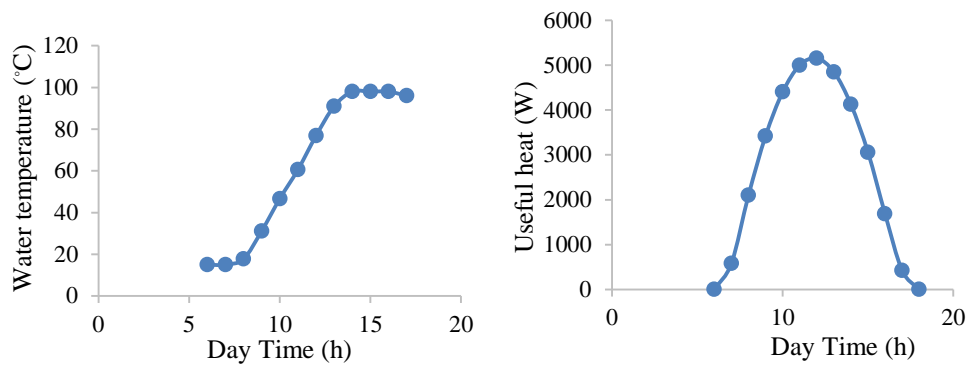
**Fig.6.** Thermal performance of the tank: heating of the tank fluid using the Fresnel collector system (Right), cooling of the fluid to create the required night heat in the greenhouse (Left)

شکل ۷ تولید گرمای مفید در طول روز را نشان می‌دهد. نتایج نظری از رابطه (۱۹) به دست آمده است. بدیهی است که تولید گرمای مفید از مقادیر تابش پرتوی خورشیدی پیروی می‌کند، بدین ترتیب بالاترین تولید گرمای مفید در دوره زمانی نزدیک به ظهر خورشیدی مشاهده می‌شود و برابر با ۵۱۵۲ وات است.

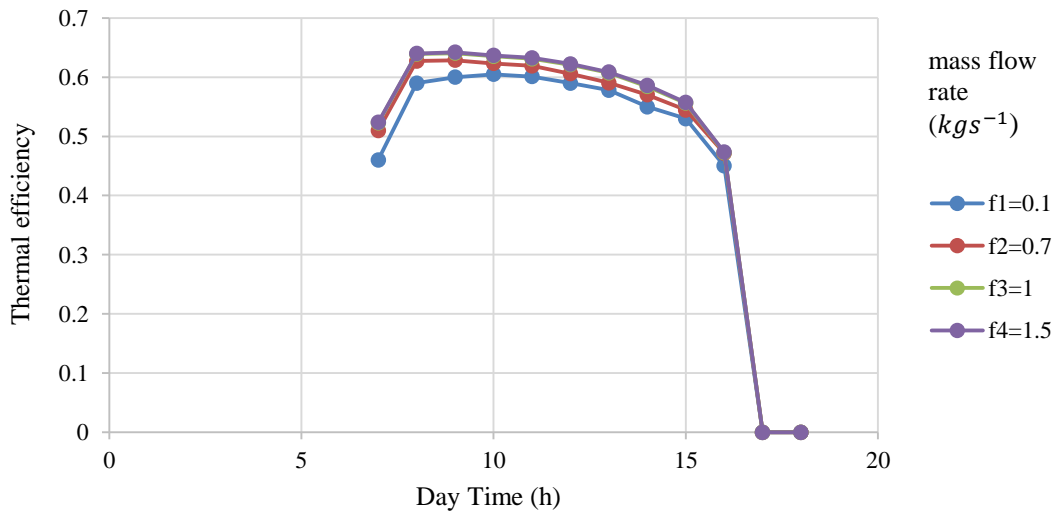
همان‌طور که در شکل ۸ مشخص است بیشترین بازده حرارتی متمرکزکننده فرنل در طول روز ۶۴ درصد و میزان بازده متوسط روزانه ۵۶/۴ درصد است. از دلایل کاهش بازده متمرکزکننده از ساعت ۱۲ به بعد کم شدن شدت تابش خورشیدی، افزایش اختلاف دمای متمرکزکننده و دمای محیط می‌توان نام برد. افزایش نرخ دبی آب باعث افزایش بازدهی حرارتی می‌شود. نتایج به دست آمده از مطالعات مختلف نشان می‌دهد متمرکزکننده فرنل خطی با استفاده از طراحی جدید می‌تواند بازدهی حرارتی بالایی داشته باشد (Bellos et al., 2018). به‌طور مثال متمرکزکننده سهموی خطی دارای بازدهی حداکثر ۷۰ درصد است (Jafari et al., 2017). با توجه به بازدهی به دست آمده در روز به میزان ۶۴ درصد رسید که قابل رقابت با متمرکزکننده‌های سهموی است. در مطالعات دیگری بازدهی متمرکزکننده فرنل خطی در ظهر به حدود ۶۵ درصد رسیده است (Ma et al., 2018).

با توجه به گلخانه نمونه با نیاز حرارتی متوسط ۱۹۶۰ وات برای ثابت نگه داشتن دمای ۱۵ درجه‌ی گلخانه با استفاده از رابطه (۱۸) نیاز به مخزن حرارتی با حجم ۲۵۰ لیتر است. تعداد ردیف آینه‌ها با توجه به بازده نوری ۷۰ درصد محاسبه شده از رابطه (۷) و با توجه به نیاز حرارتی گلخانه با استفاده از رابطه (۹) تعداد و مساحت کلی آینه‌ها محاسبه می‌شود. دلیل استفاده از المنت حرارتی محاسبه نشدن تلفات حرارتی بازتابنده فرنل خطی است. که بعد از محاسبه این مقدار به‌عنوان سیستم کمکی گرمایشی استفاده می‌شود.

همان‌طور که در شکل ۶ مشخص است برای یک شب سرد زمستانی با کمینه دمای منفی ۲۰ درجه دمای مخزن آب با وجود المنت حرارتی ۷۰۰ وات می‌تواند پاسخگوی نیاز حرارتی برای گلخانه تا ۱۵ ساعت باشد (شکل ۶ چپ). همچنین عملکرد متمرکزکننده به گونه‌ای طراحی شده است که در طول یک روز زمستانی توانایی گرمایش ۲۵۰ لیتر آب را تا نقطه جوش در مدت کاری ۸ ساعت را داشته باشد (شکل ۶ راست). در مقایسه با کار انجام شده توسط (Jafari et al., 2017) می‌توان بیان نمود آزمایش انجام شده در شهر کرمان با عرض جغرافیایی پایین‌تری صورت گرفته و دارای تابش خورشیدی بالاتری نسبت به کار حاضر است. که خود دلیلی بر افزایش کارایی حرارتی متمرکزکننده است.



شکل ۷- تولید گرمای مفید در طول روز توسط متمرکزکننده، متمرکزکننده فرنل (راست) و تغییرات دمای آب متمرکزکننده در طول روز (چپ)  
**Fig.7.** Useful heat production during the day by Fresnel collector (Right) and collector water temperature changes during the day (Left)



شکل ۸- نمودار بازده حرارتی متمرکزکننده فرنل در طول روز  
**Fig.8.** Fresnel collector heat efficiency diagram during the day

جدول ۴- بازده اکسرژی با توجه به شرایط روزانه سامانه

**Table 4-** Express efficiency according to the daily conditions of the system

زمان روز Day Time (h)	دما Temperature (°C)	بازده حرارتی Thermal efficiency	بازده اکسرژی Exergy efficiency (%)
7	15	0.56	3.5
8	17.73	0.64	4.3
9	31.15	0.65	7
10	46.66	0.65	10
11	60.55	0.65	12
12	76.80	0.64	15
13	90.97	0.63	17
14	98	0.56	15
15	98	0.41	11
16	98	0.25	7
17	98	0.05	1

## تحلیل اکسرژی

تجزیه و تحلیل اکسرژی متمرکزکننده شامل تحلیل اکسرژی نوری خورشیدی، اکسرژی تولیدشده مفید و تلفات اکسرژی است. می‌توان از مدل پتلا برای تخمین جریان اکسرژی در تابش خورشیدی ورودی استفاده کرد. این مدل خورشید را مخزن تابشی دما (Tsun) در نظر می‌گیرد که دما در لایه‌های بیرونی آن ۵۷۷۰ درجه‌ی کلوین تخمین زده می‌شود. از روابطه (۳۸) و (۳۹) بازده اکسرژی محاسبه و نتایج در جدول ۴ نشان داده شده است. می‌توان بیان نمود بازده اکسرژی تابعی از بازده و اتلاف حرارتی است. این مقدار به تدریج افزایش و سپس کاهش می‌یابد به دلیل افزایش تلفات حرارتی و نوری با افزایش تابش خورشیدی است. بیشترین بازده اکسرژی برابر با ۱۷ درصد در ساعت ۱۳ است که مقادیر به دست آمده با نتیجه مطالعات قابل بررسی است بیشینه این مقدار برابر با ۱۹/۸۳ درصد است (Bellos et al., 2019).

## نتیجه‌گیری

در این مطالعه عملکرد روزانه‌ی جمع‌کننده فرنل خطی همراه با میدان آینه ۱۸ مترمربع، یک جمع‌کننده پارابولیک و مخزن ذخیره عایق‌بندی شده با حجم ۲۵۰ لیتر بررسی شده است، که شامل تجزیه و تحلیل تجربی، فرمول‌بندی نظری پدیده‌های حرارتی و نیز شرایط آب و هوایی شهرکرد بوده است. مدل ریاضی توسعه‌یافته بر اساس توازن انرژی در جمع‌کننده و مخزن ذخیره‌سازی است. لذا بر اساس موارد ذکر شده در بخش قبل، نتیجه تحلیل‌های انجام شده به شرح زیر است:

- مدل‌سازی ریاضی پیشنهاد شده برای محاسبه‌ی انرژی خورشیدی از نظر عملکرد روزانه و آنی دقیق است. این مدل هم برای روزهای صاف و هم ابری به دلیل استفاده از ضریب ابر معتبر است، بنابراین می‌توان آن را در انواع شرایط آب و هوایی اعمال کرد.
- معادلات تحلیلی برای اصلاح‌کننده زاویه تابش روزانه

جمع‌کننده، پیشنهاد شده است. این معادلات امکان ارزیابی سریع و دقیق نوری LFR را فراهم می‌آورد.

- حداکثر تولید گرمای مفید سامانه فعلی برای ماه بهمن نزدیک به ظهر خورشیدی است و در حدود ۵/۲ کیلووات است (شکل ۷)، در حالی که افزایش دمای مایع در مخزن حرارتی ۱۶ درجه سلسیوس است.
- بیشترین بازده حرارتی متمرکزکننده فرنل در طول روز ۶۴ درصد است و میزان بازده متوسط روزانه ۵۶/۴ درصد است.
- مهم‌ترین پارامترهایی که بر تولید انرژی مفید تأثیر می‌گذارند، موقعیت خورشیدی در طول روز و میزان ابر در روز است.
- سامانه توانایی گرمایش آب ذخیره در منبع را تا دمای ۹۸ درجه در روز را دارد. این مقدار تا ساعت ۱۴ قابل دسترس است.
- از سامانه مورد بررسی می‌توان برای گرمایش تا میزان ۱۲۶۰ وات بدون گرم‌کننده‌ی مخزن به مدت ۱۵ ساعت استفاده کرد. این مقدار گرمایش برای استفاده در مصارف خانگی، دستگاه‌های تولید مثل گرمایی و گلخانه‌ها استفاده کرد.
- مقیاس‌های بزرگ‌تر برای استفاده‌های نیروگاهی، تولید برق، تولید بخار صنایع غذایی و آب شیرین‌کن‌های صنعتی قابل استفاده است.
- سامانه دارای بازدهی متوسط حرارتی ۵۶ درصدی دست پیدا کرد. که یک مقدار مناسب و قابل رقابت با سایر فناوری‌های مشابه است. در حالی که هزینه ساخت و نگهداری به مراتب پایین‌تری از رقبا برخوردار است.
- کاهش بازدهی اکسرژی به دلیل کاهش یافتن بازدهی حرارتی سامانه و نیز افزایش اختلاف حرارتی دمای متمرکزکننده و محیط است. با کاهش تلفات حرارتی می‌توان به مقادیر بالاتری دست یافت. همچنین می‌توان بیان نمود که نوع طراحی سامانه ما را از به دست آوردن مقادیر بالاتر دمای سیال محدود می‌کند (در سامانه از تغییر فاز آب به بخار جلوگیری شده است) که خود دلیلی بر کاهش بازدهی اکسرژی سامانه است.

## References

1. Anifantis, A. S., Colantoni, A., & Pascuzzi, S. (2016). Thermal energy assessment of a small scale photovoltaic, hydrogen and geothermal stand-alone system for greenhouse heating. *Renewable Energy*, 103, 115-127. <https://doi.org/10.1016/j.renene.2016.11.031>
2. Attar, I., & Farhat, A. (2015). Efficiency evaluation of a solar water heating system applied to the greenhouse climate. *Solar Energy*, 119, 212-224. <https://doi.org/10.1016/j.solener.2015.06.040>
3. Babu, M., Raj, S. S., & Arasu, A. V. (2019). Experimental analysis on Linear Fresnel reflector solar concentrating hot water system with varying width reflectors. *Case Studies in Thermal Engineering*, 14, 100444. <https://doi.org/10.1016/j.csite.2019.100444>
4. Balaji, S., Reddy, K. S., & Sundararajan, T. (2016). Optical modelling and performance analysis of a solar LFR



- receiver system with parabolic and involute secondary reflectors. *Applied Energy*, 179, 1138-1151. <https://doi.org/10.1016/j.apenergy.2016.07.082>
5. Barbón, A., Barbón, N., Bayón, L., & Otero, J. A. (2016). Theoretical elements for the design of a small scale Linear Fresnel Reflector: Frontal and lateral views. *Solar Energy*, 132, 188-202. <https://doi.org/10.1016/j.solener.2016.02.054>
  6. Barbón, A., Fernández-Rubiera, J. A., Martínez-Valledor, L., Pérez-Fernández, A., & Bayón, L. (2021). Design and construction of a solar tracking system for small-scale linear Fresnel reflector with three movements. *Applied Energy*, 285, 116477. <https://doi.org/10.1016/j.apenergy.2021.116477>
  7. Baudoin, W., Nono-Womdim, R., Lualadio, N., Hodder, A., Castilla, N., Leonardi, C., De Pascale, S., Qaryouti, M., & Duffy, R. (2013). Good agricultural practices for greenhouse vegetable crops: Principles for mediterranean climate areas. FAO plant production and protection paper (FAO).(book)
  8. Bellos, E. (2019). Progress in the design and the applications of linear Fresnel reflectors—A critical review. *Thermal Science and Engineering Progress*, 10, 112-137. <https://doi.org/10.1016/j.tsep.2019.01.014>
  9. Bellos, E., Mathioulakis, E., Papanicolaou, E., & Belessiotis, V. (2018). Experimental investigation of the daily performance of an integrated linear Fresnel reflector system. *Solar Energy*, 167, 220-230. <https://doi.org/10.1016/j.solener.2018.04.019>
  10. Bellos, E., Mathioulakis, E., Tzivanidis, C., Belessiotis, V., & Antonopoulos, K. A. (2016). Experimental and numerical investigation of a linear Fresnel solar collector with flat plate receiver. *Energy Conversion and Management*, 130, 44-59. <https://doi.org/10.1016/j.enconman.2016.10.041>
  11. Bellos, E., Tzivanidis, C., Korres, D., & Antonopoulos, K. A. (2015). *Thermal analysis of a flat plate collector with Solidworks and determination of convection heat coefficient between water and absorber*. In ECOS conference. <https://doi.org/10.1177/0957650917712403>
  12. Belessiotis, V., Mathioulakis, E., & Papanicolaou, E. (2010). Theoretical formulation and experimental validation of the input–output modeling approach for large solar thermal systems. *Solar Energy*, 84(2), 245-255. <https://doi.org/10.1016/j.solener.2009.10.024>
  13. Benyakhlef, S., Al Mers, A., Merroun, O., Bouatem, A., Boutammachte, N., El Alj, S., Ajdad, H., Erregueragui, Z., & Zemmouri, E. (2016). Impact of heliostat curvature on optical performance of Linear Fresnel solar concentrators. *Renewable Energy*, 89, 463-474. <https://doi.org/10.1016/j.renene.2015.12.018>
  14. Boito, P., & Grena, R. (2021). Application of a fixed-receiver Linear Fresnel Reflector in concentrating photovoltaics. *Solar Energy*, 215, 198-205. <https://doi.org/10.1016/j.solener.2020.12.024>
  15. Duffie, J. A., Beckman, W. A., & Blair, N. (2020). *Solar engineering of thermal processes, photovoltaics and wind*. John Wiley & Sons; 2020 Mar 24.(book)
  16. Ebrahimpour, A., Maaref, M., & Nairi, H. (2009). Comparison of two different methods for estimating air purity coefficient for Iranian cities. *Geography and Planning*, 14(28), 1-16. (In Persian).
  17. Forristall, R. (2003). Heat transfer analysis and modeling of a parabolic trough solar receiver implemented in engineering equation solver (No. NREL/TP-550-34169). National Renewable Energy Lab., Golden, CO.(US).
  18. Hasandokht, M. (2005). *Greenhouse management (greenhouse product technologies)*. Marze danesh publication, pp: 31-35. (In Persian).
  19. Huang, F., Li, L., & Huang, W. (2014). Optical performance of an azimuth tracking linear Fresnel solar concentrator. *Solar Energy*, 108, 1-12. <https://doi.org/10.1016/j.solener.2014.05.010>
  20. Jafari, M., Mortezapour, H., Jafari Naeimi, K., & Maharlooei, M. (2017). Performance Investigation of a Solar Greenhouse Heating System Equipped with a Parabolic Trough Solar Concentrator and a Double-Purpose Heat Exchanger. *Journal of Agricultural Machinery*, 7(2), 364-378. (In Persian with English abstract). <https://doi.org/10.22067/jam.v7i2.56939>
  21. Jafarpour, Kh., & Karshenas, M. (2001). Cloud coefficient and its application in estimating solar radiation in different climates of Iran. *Iranian Journal of Energy*, 6 (1), 45-56. (In Persian).
  22. Kalogirou, S. A. (2012). A detailed thermal model of a parabolic trough collector receiver. *Energy*, 48(1), 298-306. <https://doi.org/10.1016/j.energy.2012.06.023>
  23. Loni, R., Kasaeian, A. B., Asli-Ardeh, E. A., & Ghobadian, B. (2016). Optimizing the efficiency of a solar receiver with tubular cylindrical cavity for a solar-powered organic Rankine cycle. *Energy*, 112, 1259-1272. <https://doi.org/10.1016/j.energy.2016.06.109>
  24. Jovanović, M., Kaščelan, L., Despotović, A., & Kaščelan, V. (2015). The impact of agro-economic factors on GHG emissions: Evidence from European developing and advanced economies. *Sustainability*, 7(12), 16290-16310. <https://doi.org/10.3390/su71215815>
  25. Ma, J., & Chang, Z. (2018). February. Understanding the effects of end-loss on linear Fresnel collectors. In IOP Conference Series: Earth and Environmental Science (Vol. 121, No. 5, p. 052052). IOP Publishing. <https://doi.org/10.1088/1755-1315/121/5/052052>
  26. Mokhtar, G., Boussad, B., & Noureddine, S. (2016). A linear Fresnel reflector as a solar system for heating water:

- theoretical and experimental study. *Case Studies in Thermal Engineering*, 8, 176-186. <https://doi.org/10.1016/j.csite.2016.06.006>
27. Nixon, J. D., Dey, P. K., & Davies, P. A. (2013). Design of a novel solar thermal collector using a multi-criteria decision-making methodology. *Journal of Cleaner Production*, 59, 150-159. <https://doi.org/10.1016/j.jclepro.2013.06.027>
28. Ozgener, O., & Hepbasli, A. (2006). An economical analysis on a solar greenhouse integrated solar assisted geothermal heat pump system. *Journal of Energy Resources Technology*, 128, 28-34. <https://doi.org/10.1115/1.2126984>
29. Petela, R. (2003). Exergy of undiluted thermal radiation. *Solar Energy*, 74(6), 469-488. [https://doi.org/10.1016/S0038-092X\(03\)00226-3](https://doi.org/10.1016/S0038-092X(03)00226-3)
30. Qiu, Y., He, Y. L., Cheng, Z. D., & Wang, K. (2015). Study on optical and thermal performance of a linear Fresnel solar reflector using molten salt as HTF with MCRT and FVM methods. *Applied Energy*, 146, 162-173. <https://doi.org/10.1016/j.apenergy.2015.01.135>
31. Said, Z., Ghodbane, M., Sundar, L. S., Tiwari, A. K., Sheikholeslami, M., & Boumeddane, B. (2021). Heat transfer, entropy generation, economic and environmental analyses of linear Fresnel reflector using novel rGO-Co3O4 hybrid nanofluids. *Renewable Energy*, 165, 420-437. <https://doi.org/10.1016/j.renene.2020.11.054>
32. Smith, P., Clark, H., Dong, H., Elsiddig, E. A., Haberl, H., Harper, R., House, J., Jafari, M., Masera, O., Mbow, C., & Ravindranath, N. H. (2014). Agriculture, forestry and other land use (AFOLU).
33. Smith, P., Martino, D., Cai, Z., Gwary, D., Janzen, H., Kumar, P., McCarl, B., Ogle, S., O'Mara, F., Rice, C., & Scholes, B. (2008). Greenhouse gas mitigation in agriculture. *Philosophical transactions of the royal Society B: Biological Sciences*, 363(1492), 789-813. <https://doi.org/10.1098/rstb.2007.2184>
34. Sharma, V., Nayak, J. K., & Kedare, S. B. (2015). Effects of shading and blocking in linear Fresnel reflector field. *Solar Energy*, 113, 114-138. <https://doi.org/10.1016/j.solener.2014.12.026>
35. Sherafati, K. (2009). *Investigation of energy consumption indices of cucumber production in Tehran greenhouses*. Final report of the research project of the Institute of Agricultural Technical and Engineering Research. (In Persian).
36. Tagle, P. D., Agraz, A., & Rivera, C. I. (2016). Study of applications of parabolic trough solar collector technology in Mexican industry. *Energy Procedia*, 91, 661-667. <https://doi.org/10.1016/j.egypro.2016.06.227>
37. Tzivanidis, C., & Bellos, E. (2016). The use of parabolic trough collectors for solar cooling—A case study for Athens climate. *Case Studies in Thermal Engineering*, 8, 403-413. <https://doi.org/10.1016/j.csite.2016.10.003>
38. Wang, G., Wang, F., Shen, F., Jiang, T., Chen, Z., & Hu, P. (2020). Experimental and optical performances of a solar CPV device using a linear Fresnel reflector concentrator. *Renewable Energy*, 146, 2351-2361. <https://doi.org/10.1016/j.renene.2019.08.090>
39. Xu, C., Chen, Z., Li, M., Zhang, P., Ji, X., Luo, X., & Liu, J. (2014). Research on the compensation of the end loss effect for parabolic trough solar collectors. *Applied Energy*, 115, 128-139. <https://doi.org/10.1016/j.apenergy.2013.11.003>